Проблемы классификации гиперспектральных авиакосмических изображений

Т.В.Кондранин¹, В.В.Козодеров², О.Ю.Казанцев³, В.И.Бобылев³, Е.В.Дмитриев⁴, В.Д.Егоров⁴, В.П. Каменцев⁵, В.В.Борзяк²

¹Московский физико-технический институт (государственный университет)

²Московский государственный университет им. М.В.Ломоносова

³НПО «Лептон», г. Зеленоград

⁴Институт вычислительной математики РАН ⁵Технопарк Тверского государственного университета

Данная часть совместных исследований реализуется в рамках проектов:

- ФЦП «Научные и научнопедагогические кадры инновационной России» на 2009 - 2013 годы.
- Аналитической ведомственной целевой программы «Развитие научного потенциала высшей школы (2009-2010 годы)».
- Проектов РФФИ.
- Хоздоговорной тематики.

Общие положения

- Современные системы гиперспектрального аэрокосмического зондирования (сотни спектральных каналов в видимой и ближней инфракрасной области, разрешение в единицы нанометров) способствует повышению точности решения прикладных задач распознавания образов природнотехногенных объектов в сравнению с многоспектральными системами (не превышают десяти спектральных каналов).
- Пакеты прикладных программ обработки данных гиперспектрального и многоспектрального зондирования (ERDAS, ENVI и др.), поставляемые зарубежными фирмами, содержат лишь некоторые стандартные процедуры классификации объектов по их аэрокосмическим изображениям.
- Имеется необходимость всестороннего рассмотрения классификаторов разного уровня сложности с целью оптимизации вычислительных процедур обработки гиперкубов данных (две пространственные координаты и длина волны).

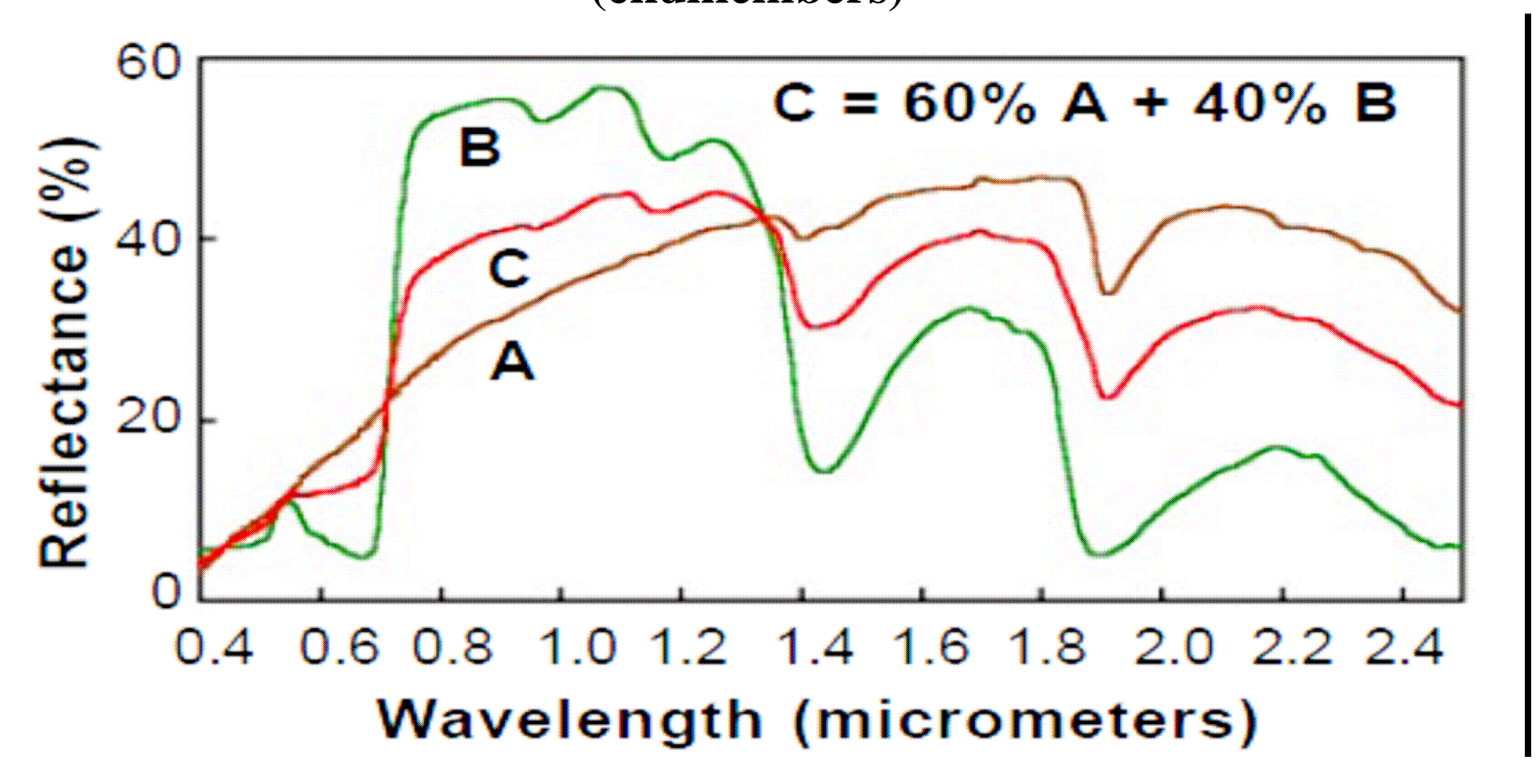
Принципы распознавания образов объектов по их гиперспектральным изображениям

- Гиперспектральным изображениям Распознавание образов (pattern recognition) обширная область прикладной и вычислительной математики, в которой исследуются особенности компьютерных систем выделять характерные признаки (features) объектов на окружающем их фоне (background) и принимать решения по возможной классификации образов этих объектов на основе сравнения выделенных признаков и текущих измерений состояния объектов.
- Типичными являются две разные процедуры распознавания образов объектов по данным дистанционного зондирования: классификация с обучением (supervised classification); классификация без обучения (unsupervised classification), т.е. использование свойства кластеризации объектов в пространстве признаков.
- Каждая система распознавания функционирует тем самым в двух модах: обучение (training) и классификация (testing).

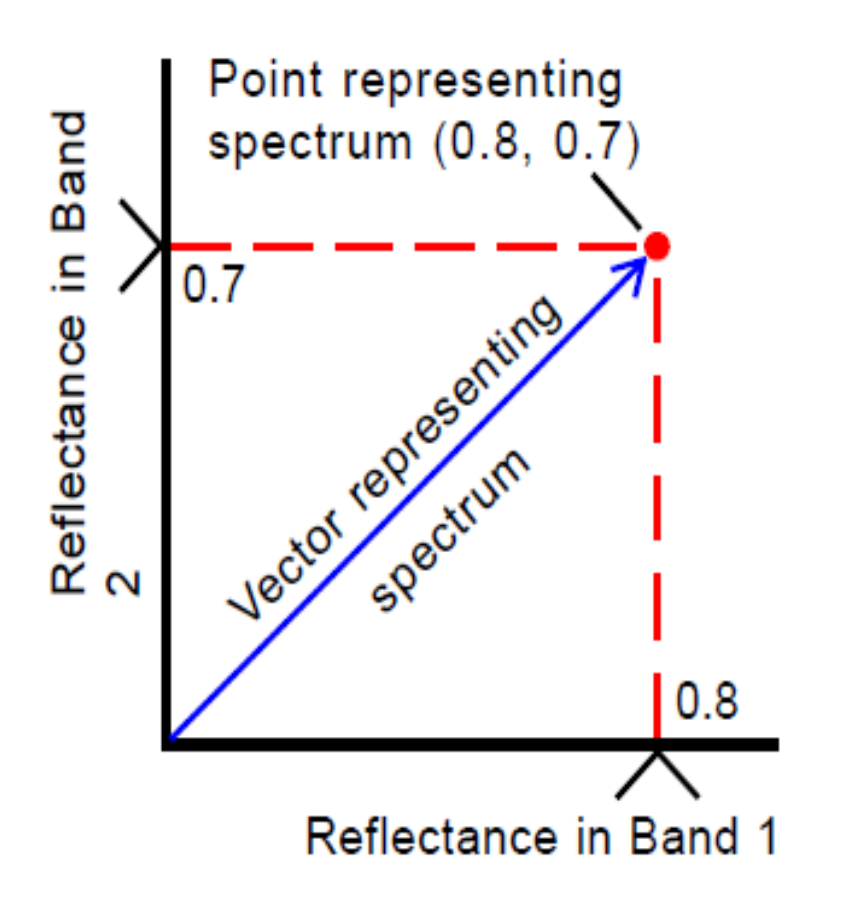
Основополагающие категории расчетных схем распознавания образов природно-техногенных объектов

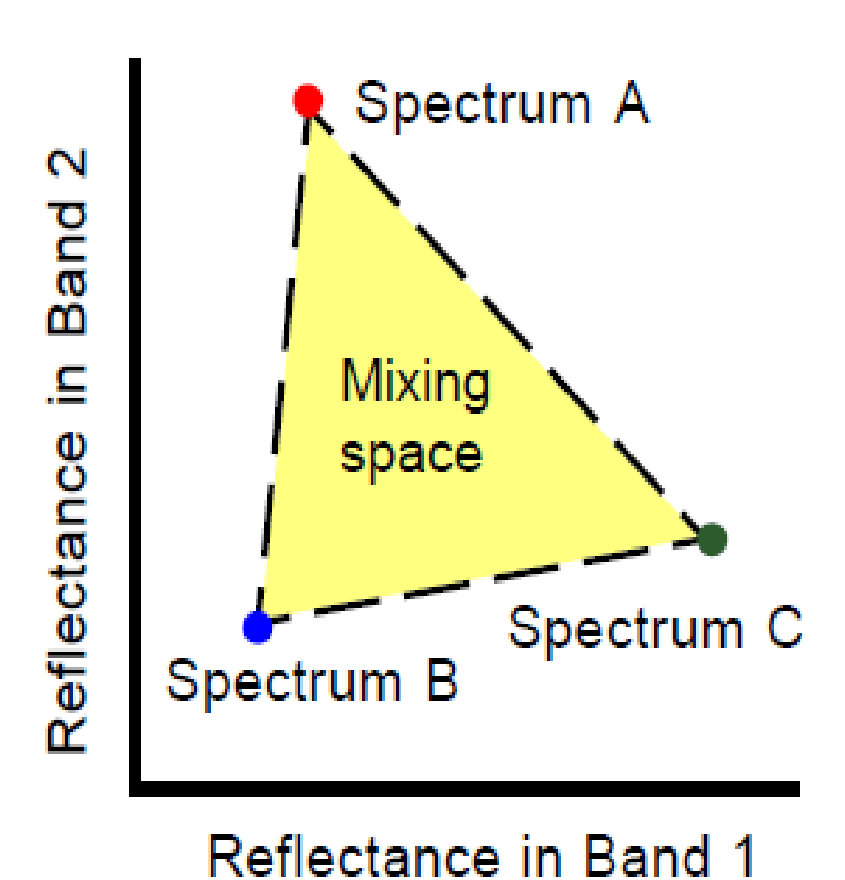
- Число каналов аэрокосмического зондирования для матрицы размерности $N = n_1 \times n_2$ для каждого элемента разрешения (пиксела).
- Число обучающих пикселей j << N для процедур с обучением.
- Число классов объектов, заданных априори и подлежащих уточнению в процессе реализации тех или иных классификаторов.

Типичная форма спектров двух разных объектов, попадающих в поле зрения аппаратуры гиперспектрального зондирования: А – для сухой почвы; В – для зеленой растительности; С – смешанный регистрируемый спектр. А и В – «чистые спектры» (endmembers)



Отображение одного спектра данных гиперспектрального зондирования в виде вектора в двухмерном пространстве (слева) и представление набора из трех спектров (справа) для примера двух каналов — 0.7 мкм и 0.8 мкм

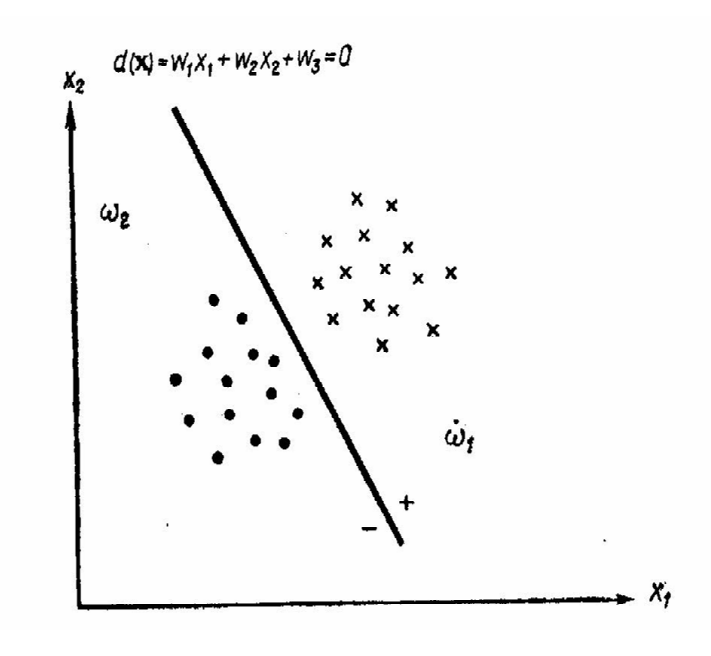




Пример простой решающей функции при разделении множества точек (векторов образов наблюдаемых объектов) на два класса

Если $d(x) = w_1x_1 + w_2x_2 + b = 0$ - уравнение разделяющей прямой, где w_i - параметры, b - свободный член, а (x_1, x_2) координаты вектора двумерного пространства признаков, то функцию d(x) можно использовать в качестве решающей (или дискриминанатной), поскольку можно утверждать, что образ x принадлежит классу ω_1 , если d(x) > 0, и классу ω_2 , если d(x) < 0.

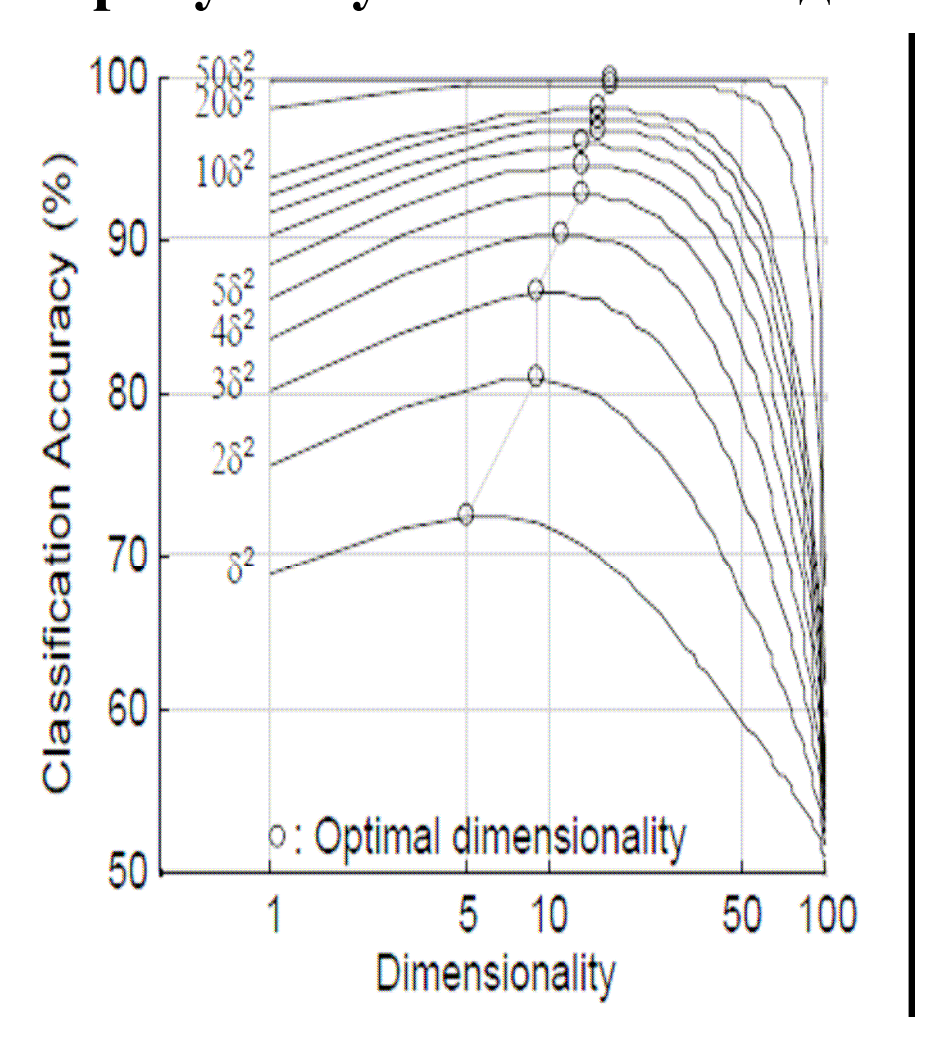
Простейшая задача обучения — найти набор (w, b) для пикселей с известными априори классами. Сложность нахождения наборов (w, b) — возможность переобучения (overtraining), т.е. появление переопределенных систем решаемых уравнений для большого числа обучающих пикселей в сравнении с числом спектральных каналов.



Общие положения, касающиеся постановки задачи: δ^2 расстояние Махалонобиса – состоятельная мера сходства (подобия) кластеризуемых векторов, когда статистические характеристики образов объектов присутствуют в явном виде проблема оценки точности

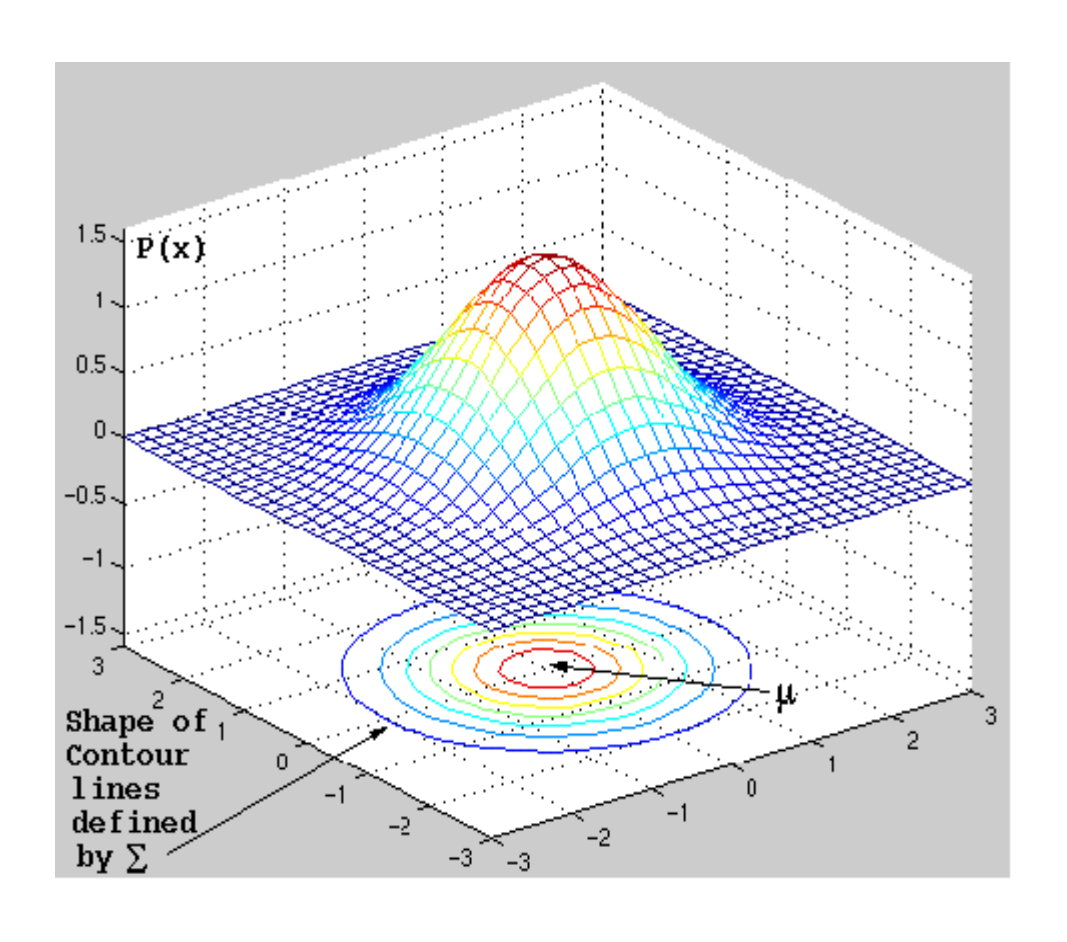
распознавания соответствующих объектов должна быть тесно увязана с оценкой информационного содержания данных конкретной аппаратуры с учетом возможной корреляции каналов, т.е. основополагающим является понимание качества прибора и динамического диапазона регистрируемых яркостей;

результаты классификации гиперспектральных изображений зависят от четырех взаимосвязанных факторов: разделимость классов; размер обучающей выборки; размерность признакового пространства; тип классификатора.

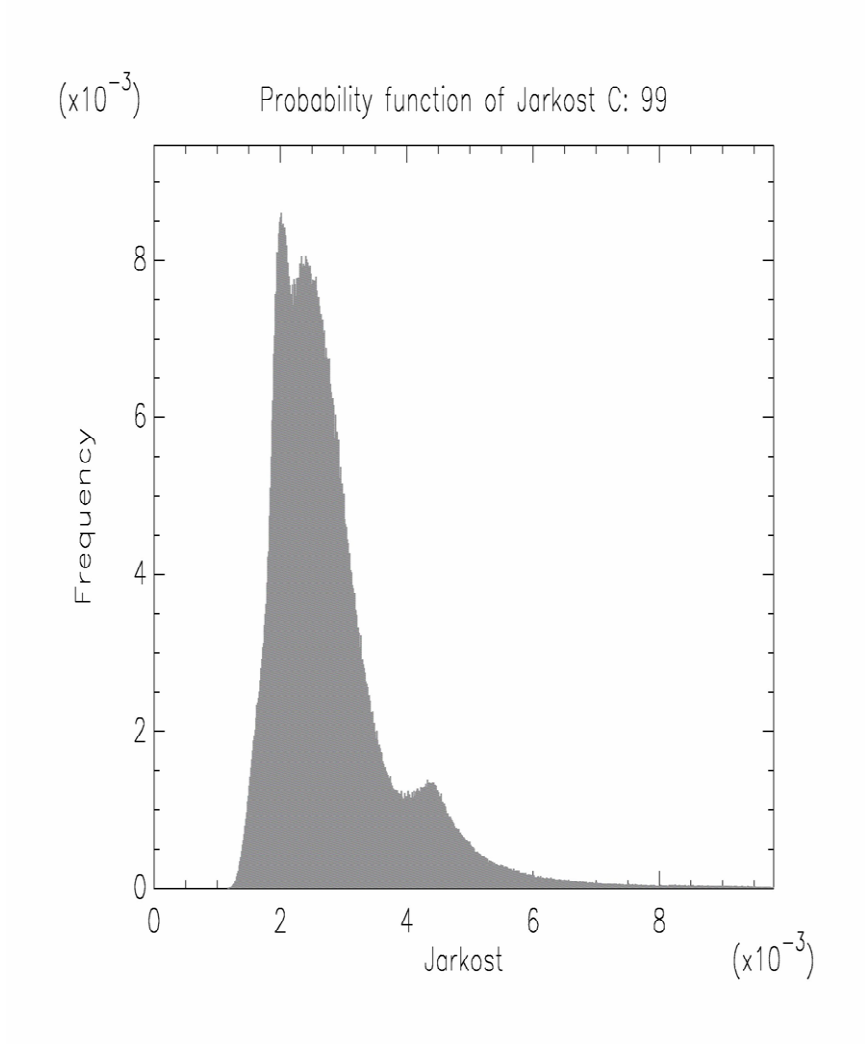


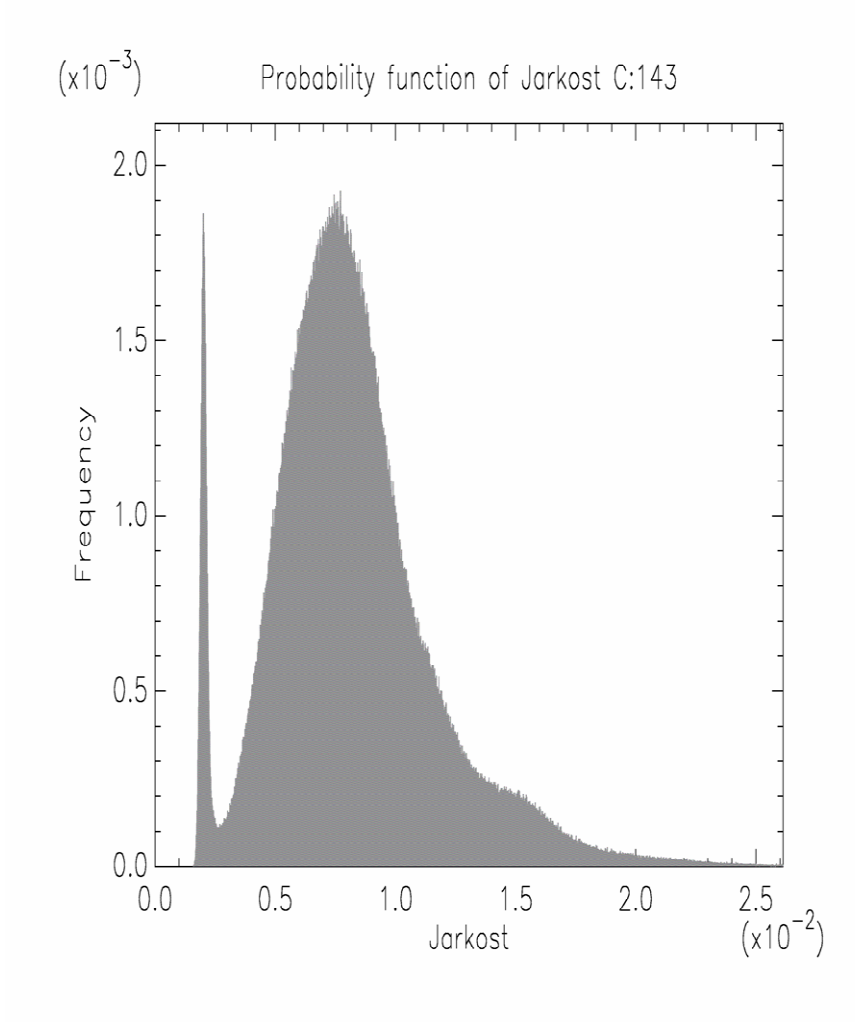
Разъяснение относительно нормального гауссовского распределения векторов

При исходных значениях векторов х, средних значений µ и ковариационной матрицы Σ мера **сходства** $\delta^2 = (x - \mu)^t \sum_{i=1}^{t} (x - \mu)^i$ плотности распределения вероятности характеризуется контурными линиями ковариационной матрицы. Чем больше длина выборки, тем меньше дисперсии (на главных диагоналях матрицы Σ) и тем больше значения δ^2 .



Близкие к двухмодовым гистограммы относительных частот появления тех или иных градаций яркости (ось абсцисс) по данным гиперспектрального аэрозондирования для длин волн 670 нм (слева) и 800 нм (справа) создают основания для изначально бинарного разбиения на классы





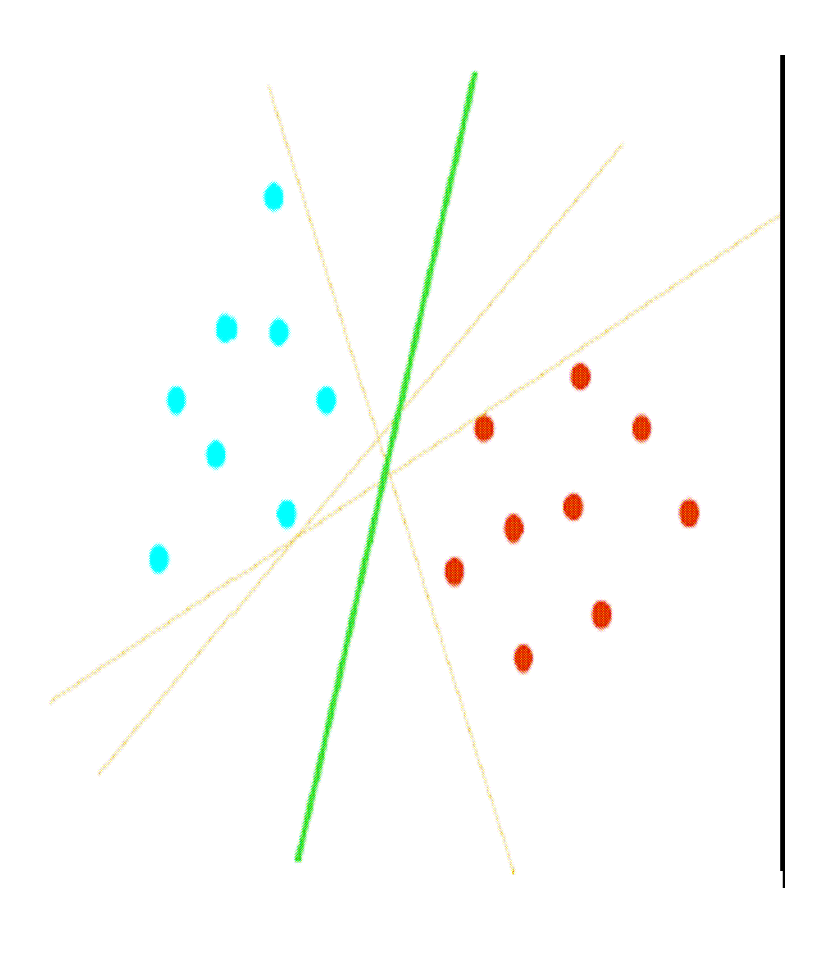
Постановка задачи распознавания объектов с обучением по тестовой выборке

• Задано пространство исходных спектров — векторов

$$x = (x_1, ..., x_n).$$

- Задано множество предварительных ответов о разделении классов у (например, -1 и +1).
- Для обучающей выборки задана целевая функция разбиения на классы.
- Требуется построить алгоритм, аппроксимирующую целевую функцию на всем пространстве.

Оптимальная разделяющая гиперплоскость показана зеленым цветом.



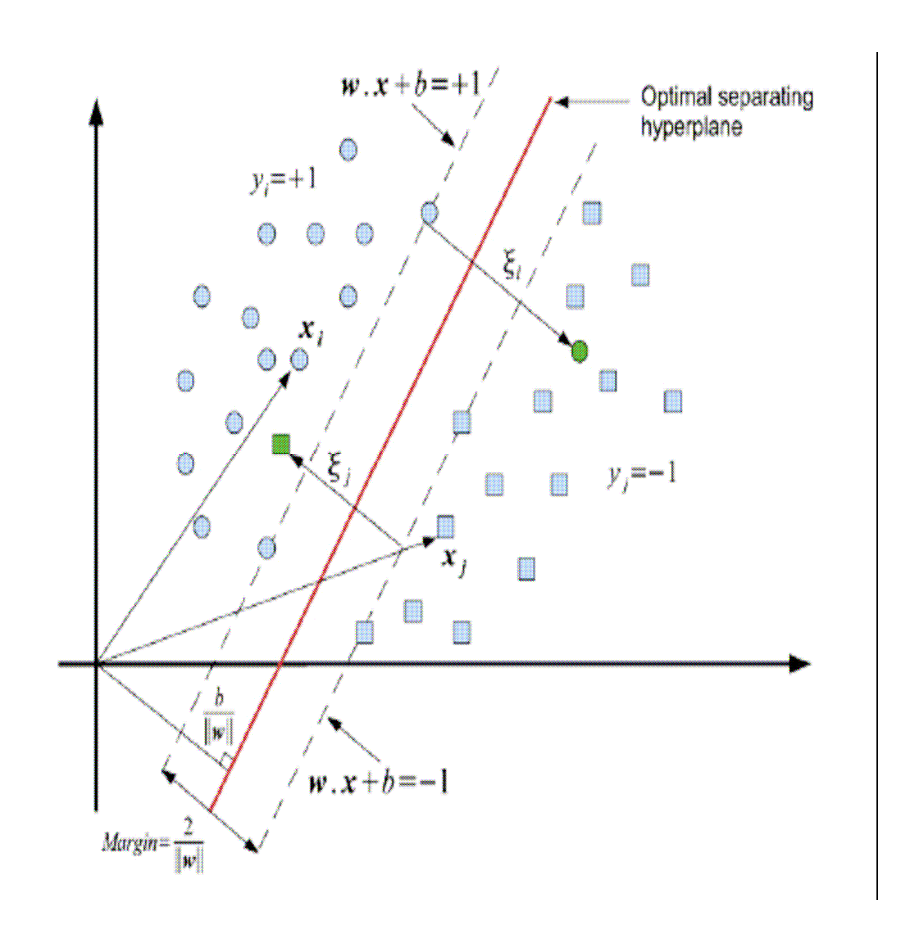
Метод опорных векторов (оси характеризуют многомерное признаковое пространство)

Для весовых векторов $w = (w_1, ..., w_n)$ и свободного члена b производится одновременно максимизация зазора (margin) (минимизируется норма вектора w) и минимизация суммы ошибок всех ξ_i объектов-нарушителей. При нелинейном отображении $\Phi(x)$ решающее правило соответствует sign[a(x)], где

$$a(x) = W \Phi(x) + b.$$

При этом на объектах обучающей выборки x_i , i = 1, ..., I решается оптимизационная задача (<...> - символ скалярного произведения):

$$1/2 < w, w > + C \Sigma_i \xi_j \rightarrow min/_{w, b, \xi};$$
 $y_i (< w, x_i > - b) \ge 1 - \xi_i, \xi_i \ge 0;$ $C \ge 0$ — управляющий параметр регуляризации решения.



Построение оптимальной разделяющей гиперплоскости для общего случая линейно неразделимой выборки

Для всех векторов x_i обучающей выборки задача сводится к минимизации квадратичной формы при следующих ограничениях неравенствах (их число равно длине выборки): $(< w, x_i > + b) \le -1$, $ecnu y_i = -1$; $(< w, x_i > + b) \ge 1$, $ecnu y_i = +1$. Задача эквивалентна двойственной задаче поиска седловой точки функции Лагранжа:

L
$$(w, b, \xi, \alpha, \eta) = \frac{1}{2} \langle w, w \rangle - \Sigma_i \alpha_i (y_i (\langle w, x_i \rangle + b) - 1) - \Sigma_i \xi_i (\alpha_i + \eta_i - C),$$

где $\alpha_i = (\alpha_I, ..., \alpha_I)$ — вектор двойственных переменных решаемой минимаксной задачи (*min* по *w* и *b*; *max* — по α), $\eta_i = (\eta_I, ..., \eta_I)$ — вектор переменных, двойственных по отношению к переменным $\alpha_i = (\alpha_I, ..., \alpha_I)$.

Необходимое условие седловой точки — равенство нулю производных Лагранжиана

$$\partial L/\partial w = w - \Sigma_i \alpha_i y_i x_i = 0 \longrightarrow w = \Sigma_i \alpha_i y_i x_i, b = y_i - \langle w, x_i \rangle;$$

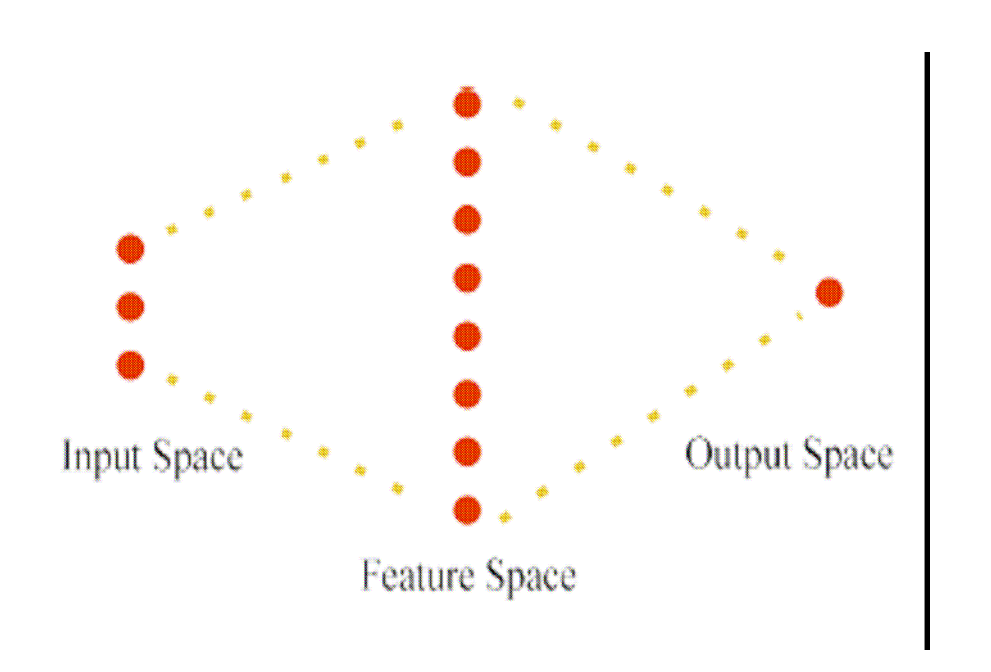
$$\partial L/\partial b = - \Sigma_i \alpha_i y_i = 0 \longrightarrow \Sigma_i \alpha_i y_i = 0;$$

$$\partial L/\partial \xi_i = - \alpha_i - \eta_i + C = 0 \longrightarrow \alpha_i + \eta_i = C.$$

Все объекты обучающей выборки x_i называются опорными векторами (support vector), если $\alpha_i > 0$ и $y_i = \langle w, x_i \rangle + b$. Соответственно, при отступе (margin) $m_i = y_i (\langle w, x_i \rangle + b)$ объектов x_i от границы классов все объекты делятся на три типа:

- $\alpha_i = 0; \ \eta_i = C; \ \xi_i = 0; \ m_i > 1.$ Объект x_i классифицируется правильно и находится далеко от разделяющей полосы. Это периферийные объекты.
- $0 < \alpha_i < C; \ 0 < \eta_i < C; \ \xi_i = 0; \ m_i = 1.$ Объект x_i классифицируется правильно и лежат в точности на границе разделяющей полосы. Это опорные объекты.
- $a_i = C; \ \eta_i = 0; \ \xi_i > 0; \ m_i < 1.$ Объект x_i либо лежит внутри разделяющей полосы, но классифицируется правильно $(0 < \xi_i < 1; \ 0 < m_i < 1)$, либо попадает на границу класса $(\xi_i = 1; \ m_i = 0)$, либо относится к чужому классу $(\xi_i > 1; \ m_i < 0)$. Это объекты-нарушители.

Итог: для быстрого нахождения всех коэффициентов w решается задачи выпуклой оптимизации, имеющая единственное решение



Следствие — сведение задачи бинарной классификации к задаче квадратичного программирования, имеющей единственное решение, относительно двойственных переменных α_i

$$max_{\alpha} \{ \Sigma_{i} \alpha_{i} - \frac{1}{2} \Sigma_{i,j} \alpha_{i} \alpha_{j} y_{i} y_{j} < \Phi(x_{i}) \Phi(x_{j}) > \};$$

$$0 < \alpha_{i} < C; \Sigma_{i} \alpha_{i} y_{i} = 0.$$

Если перенумеровать объекты так, чтобы первые h объектов оказались опорными, то поскольку $\alpha_i = 0$ для всех неопорных объектов, $i = h+1, \ldots, I$, при решающем правиле $sign \ [a \ (x)]$ дискриминантная функция определяется суммированием следующего выражения только по опорным векторам используемой выборки $(i = 1, \ldots, h)$:

$$a(x) = \sum_{i} \alpha_{i} y_{i} K(x_{i}, x) + b,$$

где функция $K(x_i,x_j)$ должна быть симметричной $K(x_i,x_j)=K(x_j,x_j)$ и неотрицательно определенной $\int_X \int_X K(x,x') \ g(x) \ g(x') \ dx \ dx' \geq 0$ для любой функции g. Отличительная особенность подхода — нет проблемы переобучения, которая присутствует в методе дискриминантного анализа при нахождении набора (w,b).

Сложности возникающих приложений с ядерными функциями

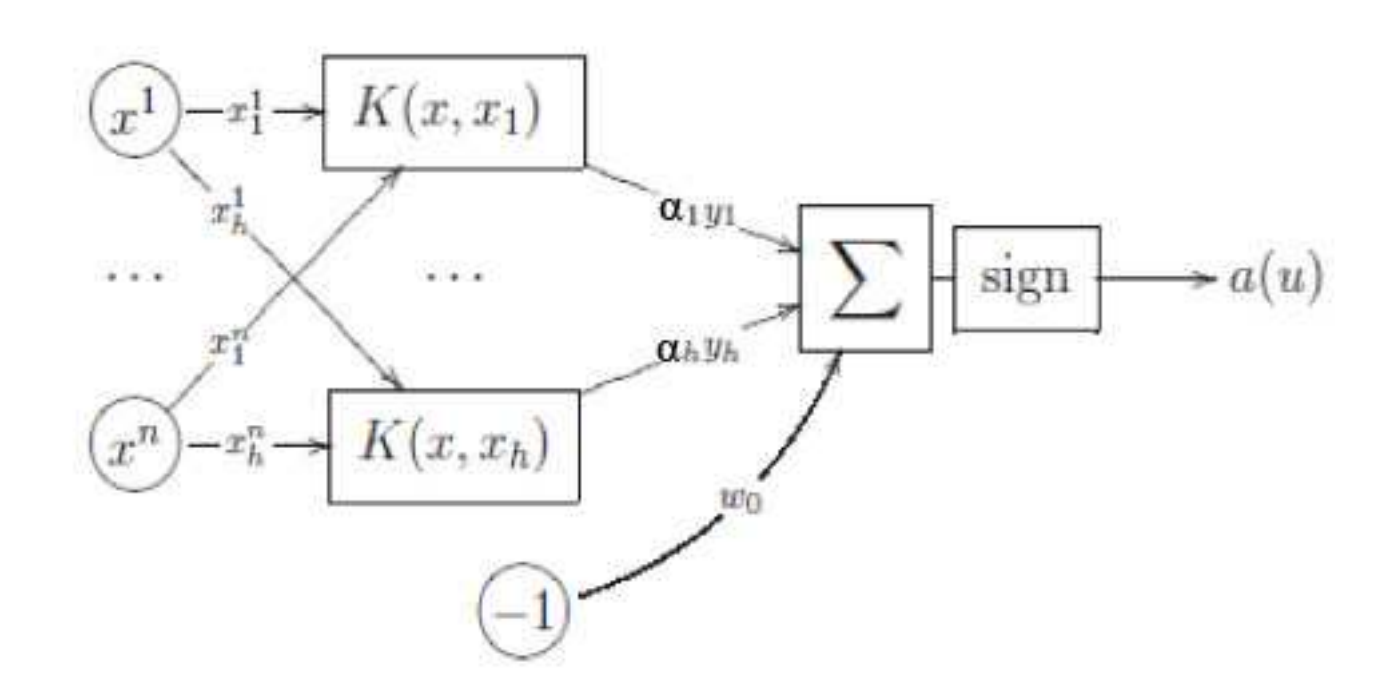
Ядра могут быть полиномами $K(u,v)=(< u,v>+1)^2,$ гауссовскими функциями $K(u,v)=\exp(-\beta||u-v||^2),$ где β — параметр и др. Например, если использовать гиперболический тангенс $K(u,v)=\operatorname{th}(k_0+k_1< u,v>)$ (классическая нейронная сеть с сигмоидными функциями активации), то это ядро применимо только при $k_0<0$ или $k_1<0$.

Сложности возникают при переходе от бинарной классификации к проблеме многих классов. Возможные стратегии:

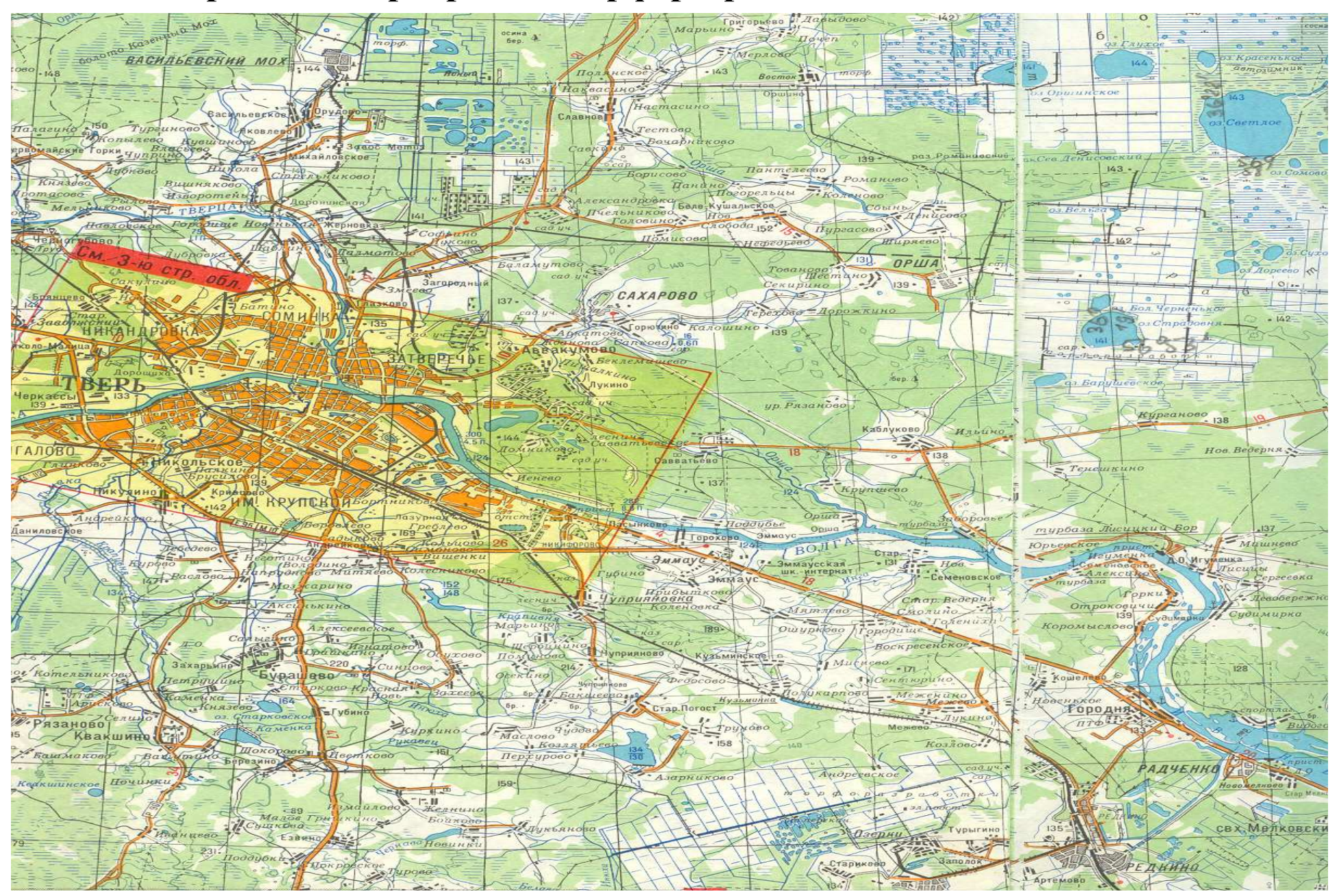
- «каждый против каждого» решается *S* (*S*-1)/2 бинарных проблем распознавания пары классов и неким «голосованием» определенный класс получает большинство из ансамбля бинарных классификаторов;
- «один против всех», когда используется правило «победитель забирает всё», т.е принимается решение, что ценность соответствующей дискриминантной функции наивысшая.

Связь метода опорных векторов с двухслойными нейронными сетями: сеть имеет *п* входных нейронов и *h* нейронов в скрытом слое.

- 1. Число нейронов скрытого слоя определяется самим методом решения.
- 2. Становится понятен смысл двойственных векторов: α_i это вес, выражающий степень важности ядра $K(x_i, x)$.
- 3. Появляются возможности распараллеливания вычислений.



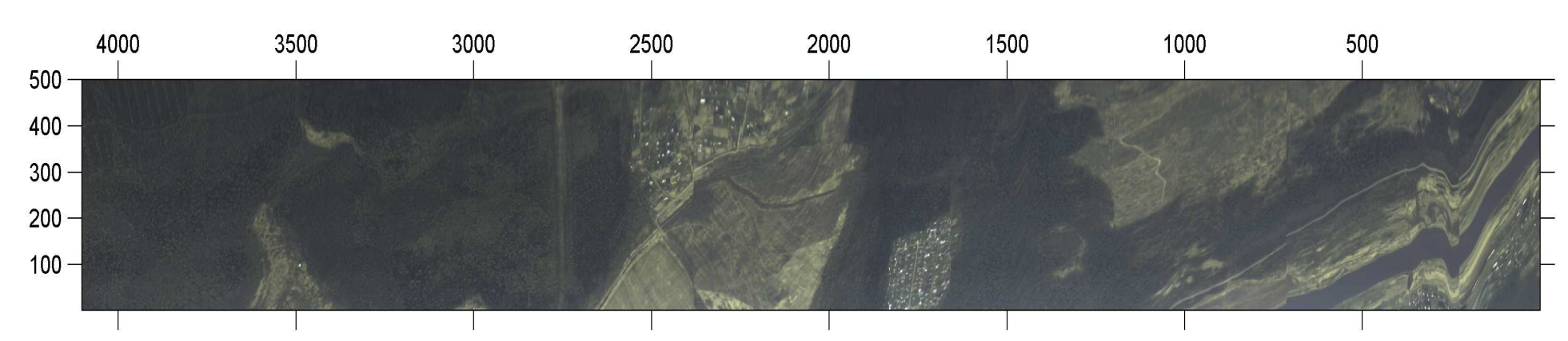
Далее - два примера обработки гиперспектральных изображений (без лесных пожаров и пожар в районе торфоразработки вблизи пос. Редкино)



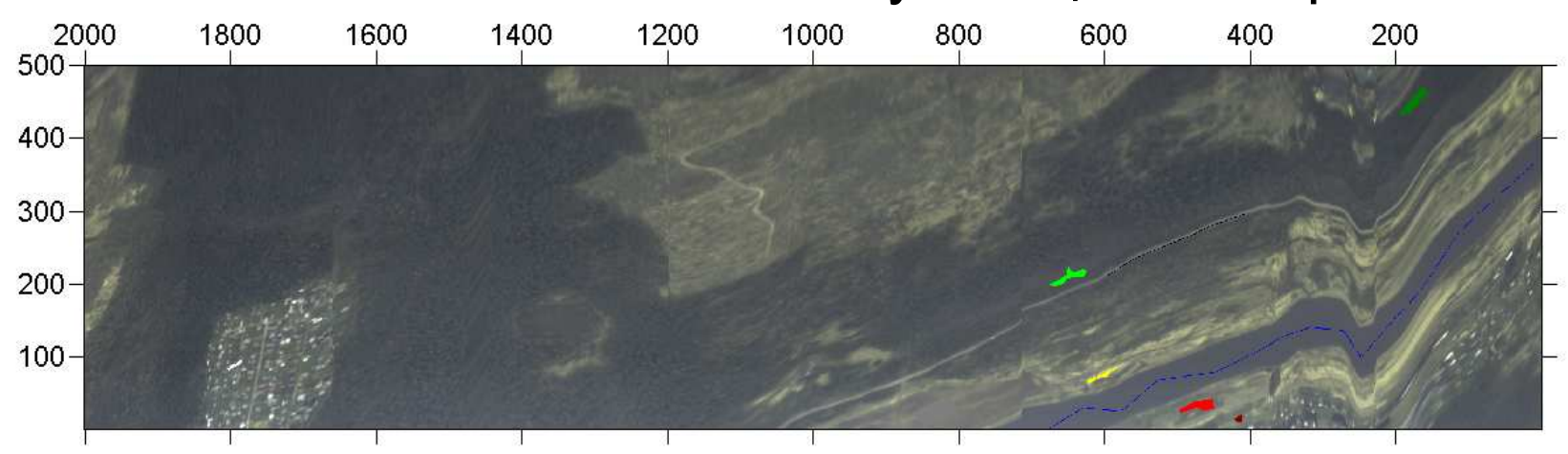
Летно-полевая кампания 2010 года: участок прибрежной зоны реки Тверца



1 - вспаханное поле; 2 - сосновый лес; 3 - лиственный лес; 4 - смешанный лес Синтезированное RGB-изображение (232 спектральных канала)



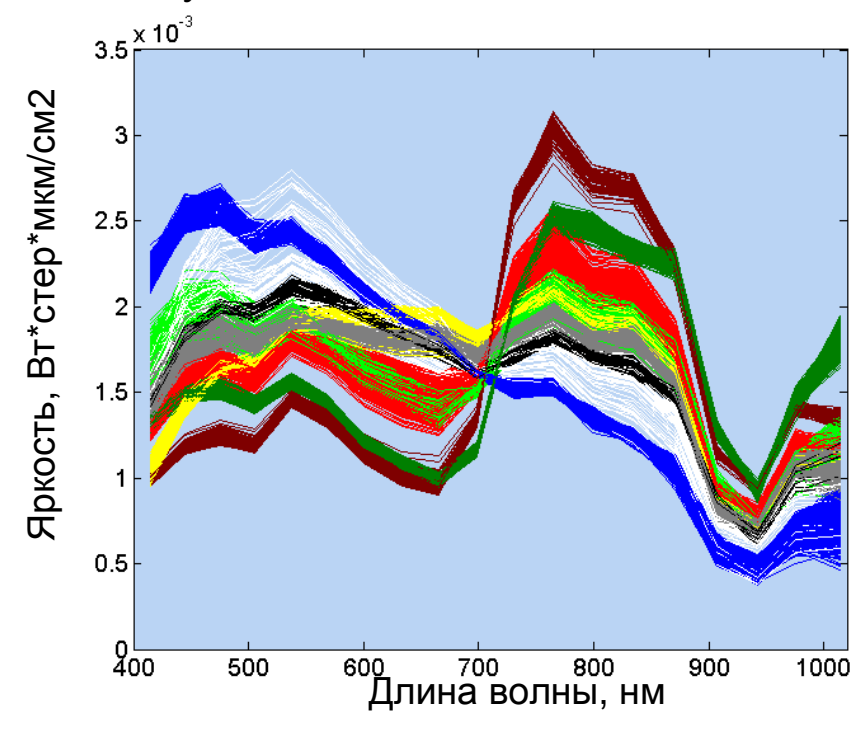
Местоположение обучающих выборок





- хвойный лес
- трава (тип 2)
- трава (тип 1)
- песчаная почва
- вспаханное поле
- постройки
- асфальт
- вода

Нормализованные калиброванные спектры обучающих пикселей, 19 каналов

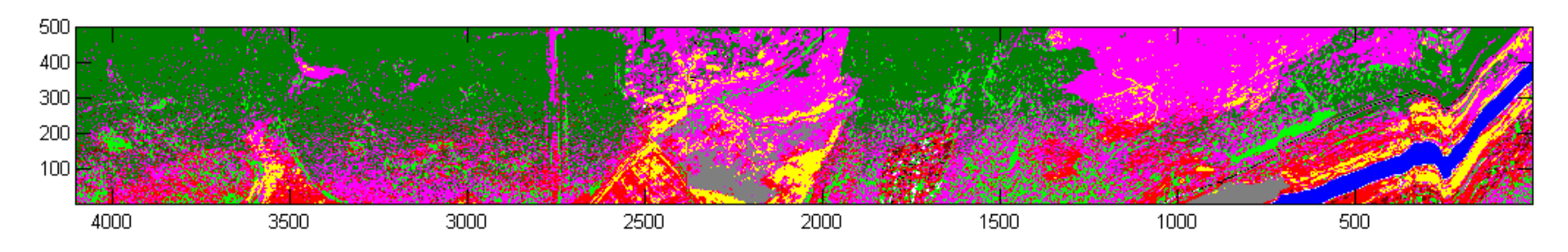


Достоверность результатов классификации и оценки состояния объектов

- Определяется с помощью матрицы ошибок, которая рассчитывается по контрольным участкам (не совпадающим с эталонными участками, которые использовались для создания обучающих выборок). Столбцы матрицы классы объектов, установленные по наземным или эталонным данным. Строки матрицы классы объектов, полученные в результате предлагаемых этапов обработки многоспектральных или гиперспектральных изображений. На главной диагонали количество элементов правильной классификации, вне диагонали ошибочной классификации.
- Итог: расчет количества элементов разрешения, ошибочно не попавших в данный класс («ошибка пропуска цели»), а также ошибочно присоединенный к данному классу («ошибка ложной тревоги»). Достоверность процент правильно классифицированных элементов разрешения от общего количества проверяемых элементов.
- Информационная продукция обработки гиперспектральных изображений имеет более высокое пространственное разрешение, чем данные наземных лесотаксационных обследований, и может использоваться для обновления имеющихся карт.

Распознавание объектов по методу опорных векторов

(6 каналов с разрешением 100 нм)

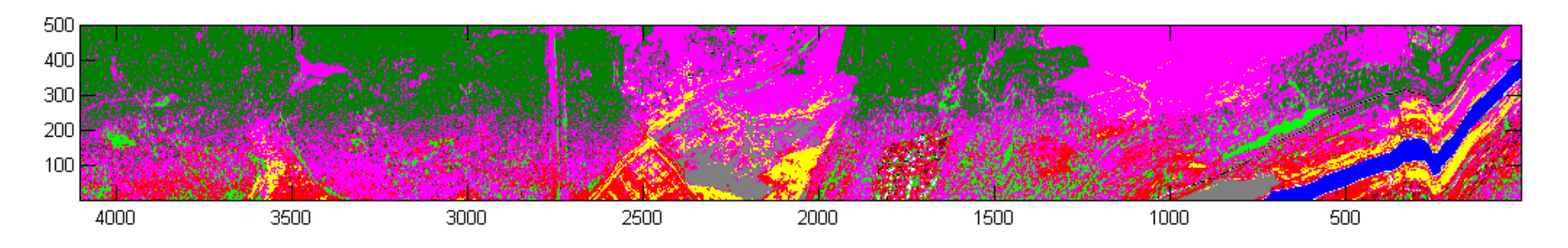


Априорная оценка ошибки классификации

		Истинные классы									
		вода	ас- фальт	по- строй ки	вспа- хан- ное поле	пес- чаная почва	трава (тип 1)	трава (тип 2)	хвой- ный лес	лист- вен- ный лес	
Результат классификации	вода	717	0	0	0	0	0	0	0	0	
	асфальт	0	188	6	0	0	0	0	0	0	- хвойный лес
	постройки	0	0	46	0	0	0	0	0	0	- ABOVINDIVI JICC
	вспаханное поле	0	0	6	1364	0	0	0	0	0	- трава (тип 2)
	песчаная почва	0	0	0	0	177	0	0	0	0	- трава (тип 1)
	трава (тип 1)	0	0	0	0	0	482	0	0	0	
	трава (тип 2)	0	0	0	0	0	0	72	0	0	- песчаная почва
	хвойный лес	0	0	0	0	0	0	0	470	0	- вспаханное пол
	листвен- ный лес	0	0	0	0	0	0	0	0	386	- постройки
	Неклас- сифици- рованные пиксели	0	0	13	0	0	0	0	0	0	- асфальт
οб	цее число учающих эктров	717	188	71	1364	177	482	72	470	386	- 📘 - вода

Распознавание объектов по методу опорных векторов

(10 каналов с разрешением 60 нм)



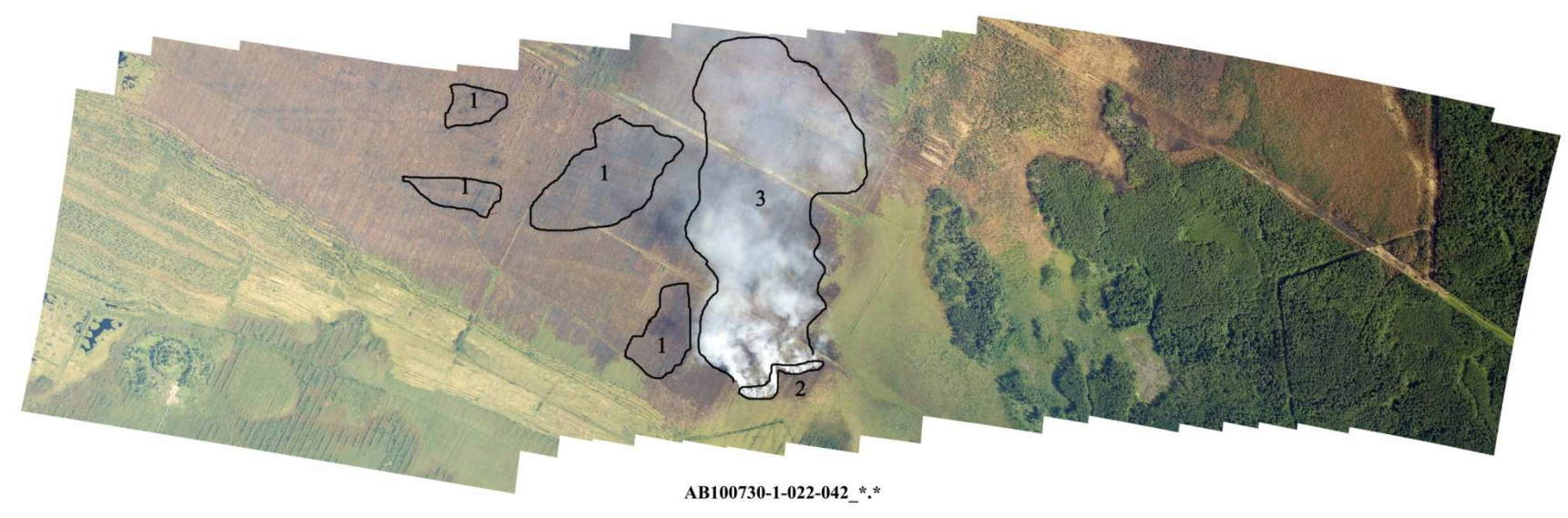
Априорная оценка ошибки классификации

					Исти	нные к	лассы			
		вода	ас- фальт	по- строй ки	вспа- хан- ное поле	пес- чаная почва	трава (тип 1)	трава (тип 2)	хвой- ный лес	лист- вен- ный лес
вода		717	0	0	0	0	0	0	0	0
асфали	ьт	0	188	1	0	0	0	0	0	0
постро	ойки	0	0	54	0	0	0	0	0	0
вспаха поле	нное	0	0	3	1364	0	0	0	0	0
ии поле песчан почва (1) трава (кая	0	0	0	0	177	0	0	0	0
трава (1)	(тип	0	0	0	0	0	482	0	0	0
2)	(тип	0	0	0	0	0	0	72	0	0
т хвойни Н лес	ый	0	0	0	0	0	0	0	470	0
те (да кака и к		0	0	0	0	0	0	0	0	386
Некла сифиц рован пиксе	нняе ти-	0	0	13	0	0	0	0	0	0
Общее чи обучающи спектров	x	717	188	71	1364	177	482	72	470	386

лес

- чва
- поле

Специфика летно-полевой и исследовательской кампаний 2010 года — рассмотрение особенностей возникновения и развития торфяных и лесных пожаров. Вверху — аэрофотоснимок территории к северо-западу от пос. Редкино, слева — маршрут самолета, справа внизу — RGB-синтезированное изображение со щели гиперспектрометра. Дата съемки 30.07.2010. Расшифровка: 1 — области закончившегося верхового пожара; 2 — фронт интенсивного горения; 3 — изменение интенсивности шлейфа дыма.



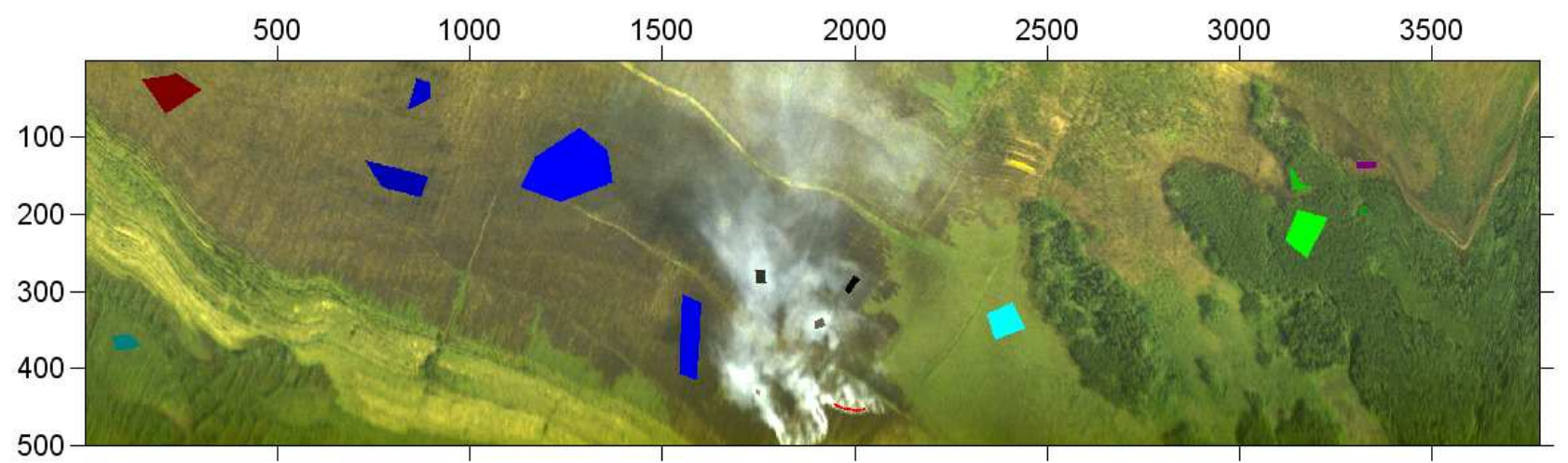




30.07.2010. 10:50:13 N56°38.685' E36°21.366'

2010-07-30 10-50-13 RGB 10-51-29--.tif

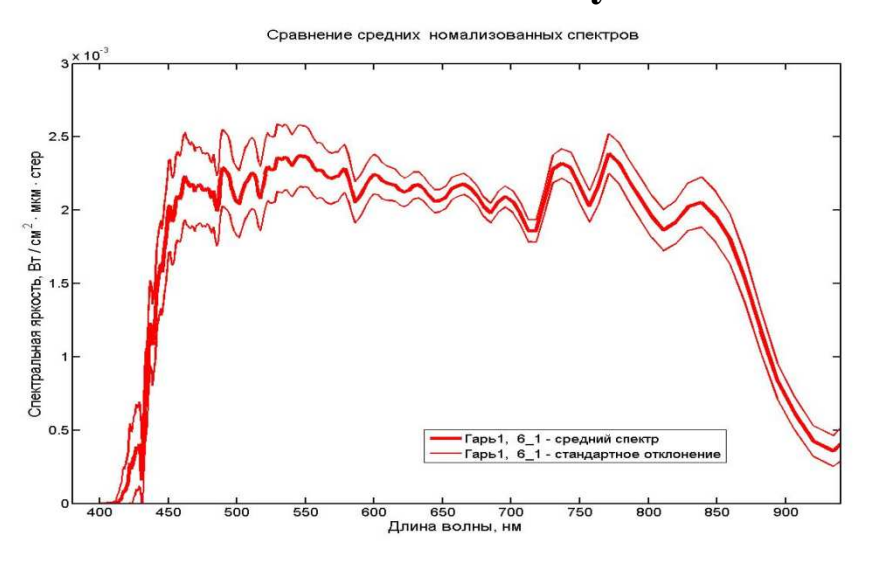
30.07.2010. 10:51:29 N56°38.319' E36°24.932'

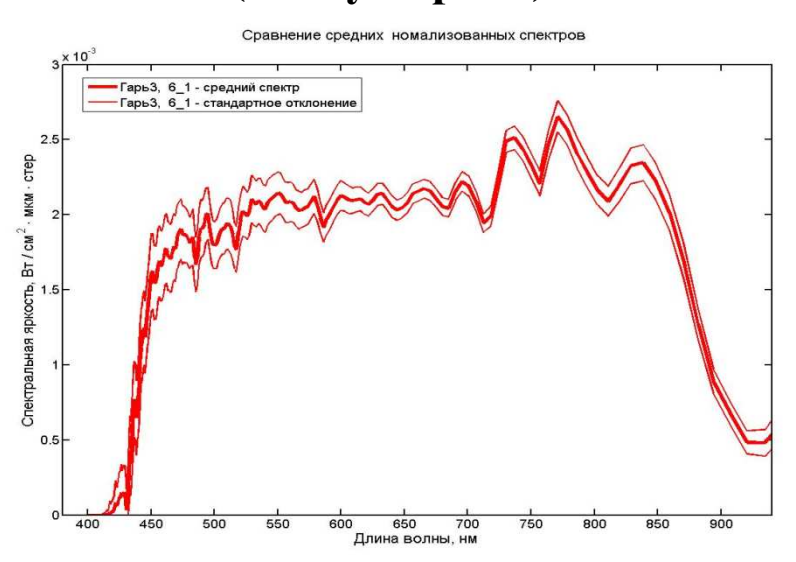


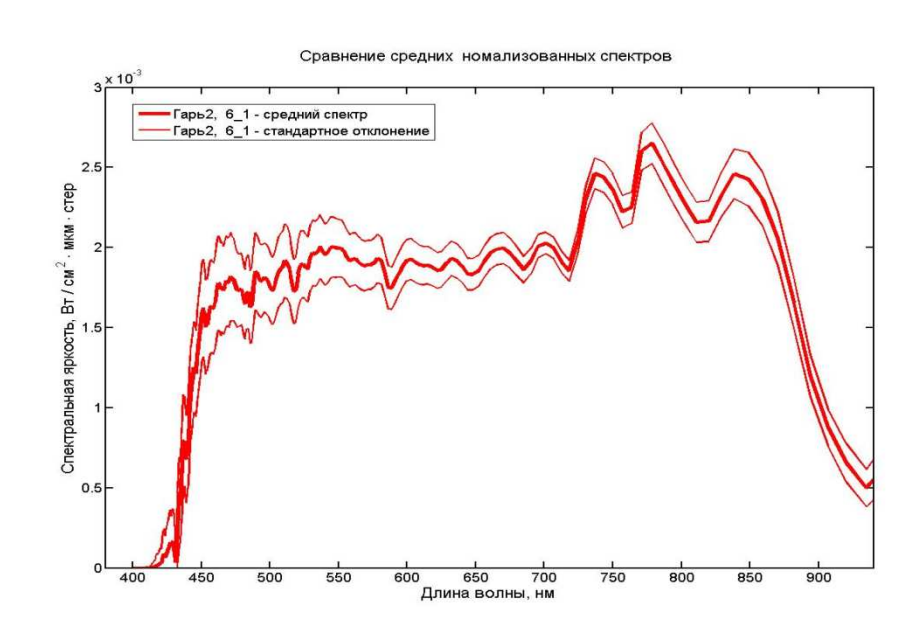


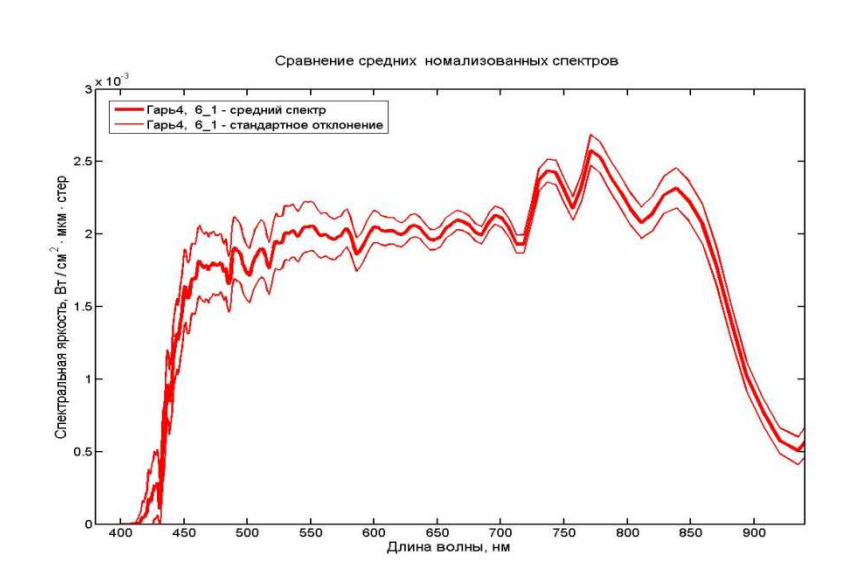
Местоположение выборок (вверху) и их расшифровка (слева) внутри области и в окрестности торфяного пожара, распространяющегося от торфоразработок вблизи пос. Редкино в направлении на северо-восток к поселку Ст. Мелково и р. Волга. Выборки отобраны в соответствии с рекомендациями специалистов Технопарка ТвГУ.

Спектры разных гарей (1-4) и стандартные отклонения спектров отличаются друг от друга: чем ближе гарь расположена к очагу текущего пожара (вверху слева), тем больше у нее амплитуда коротковолновой области спектра; чем дальше от очага, тем больше амплитуда длинноволновой области (внизу справа)

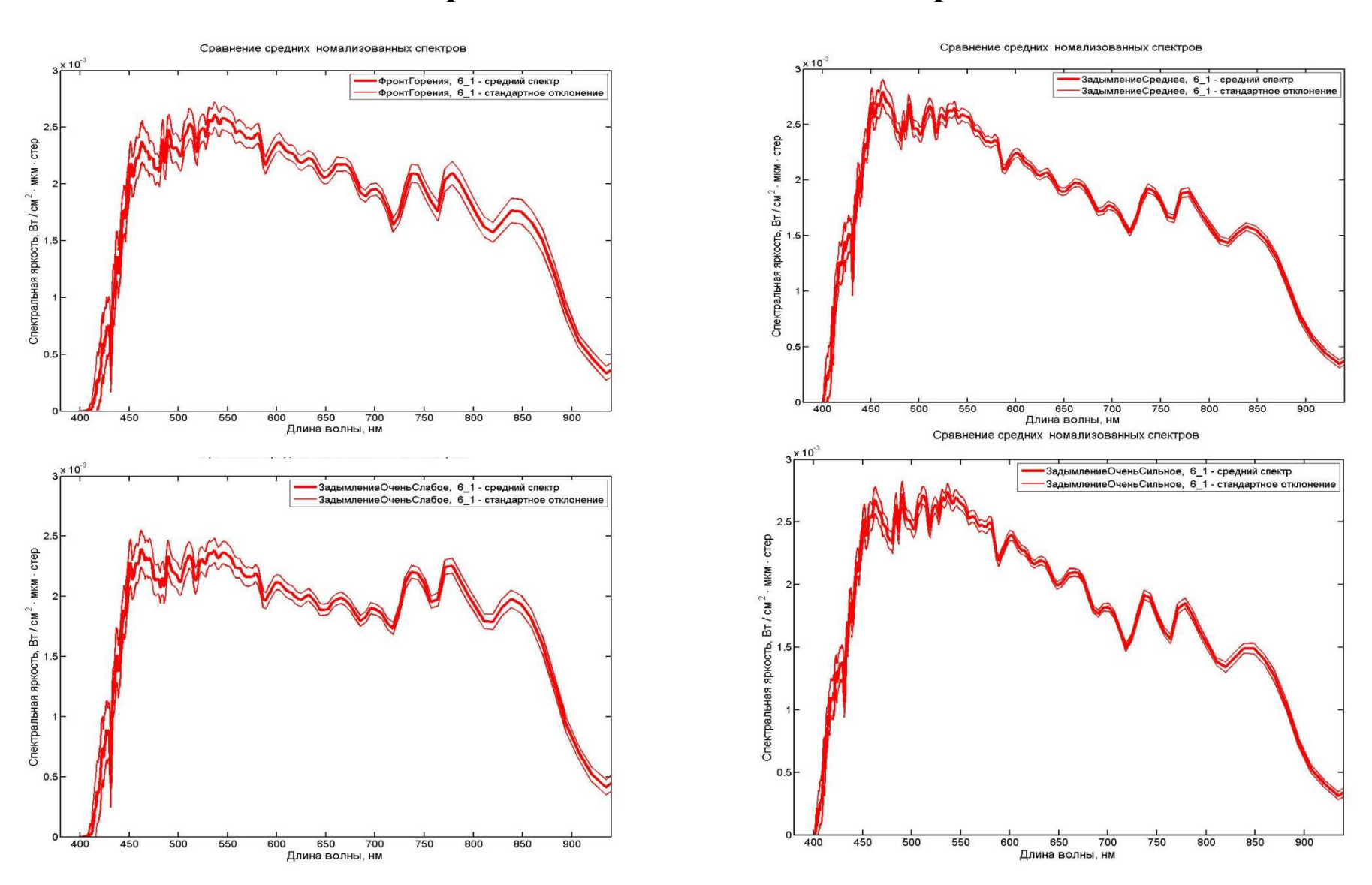




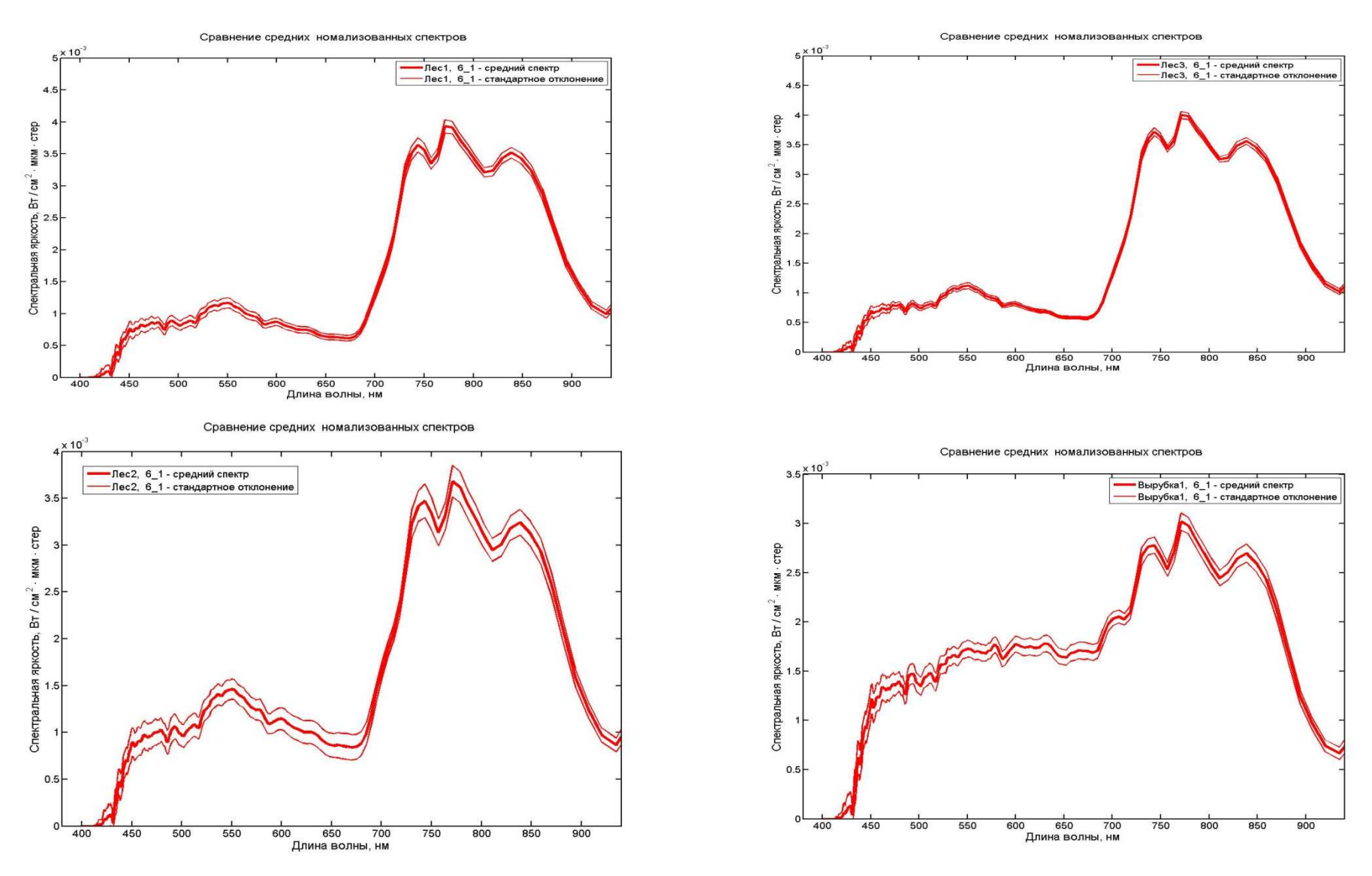




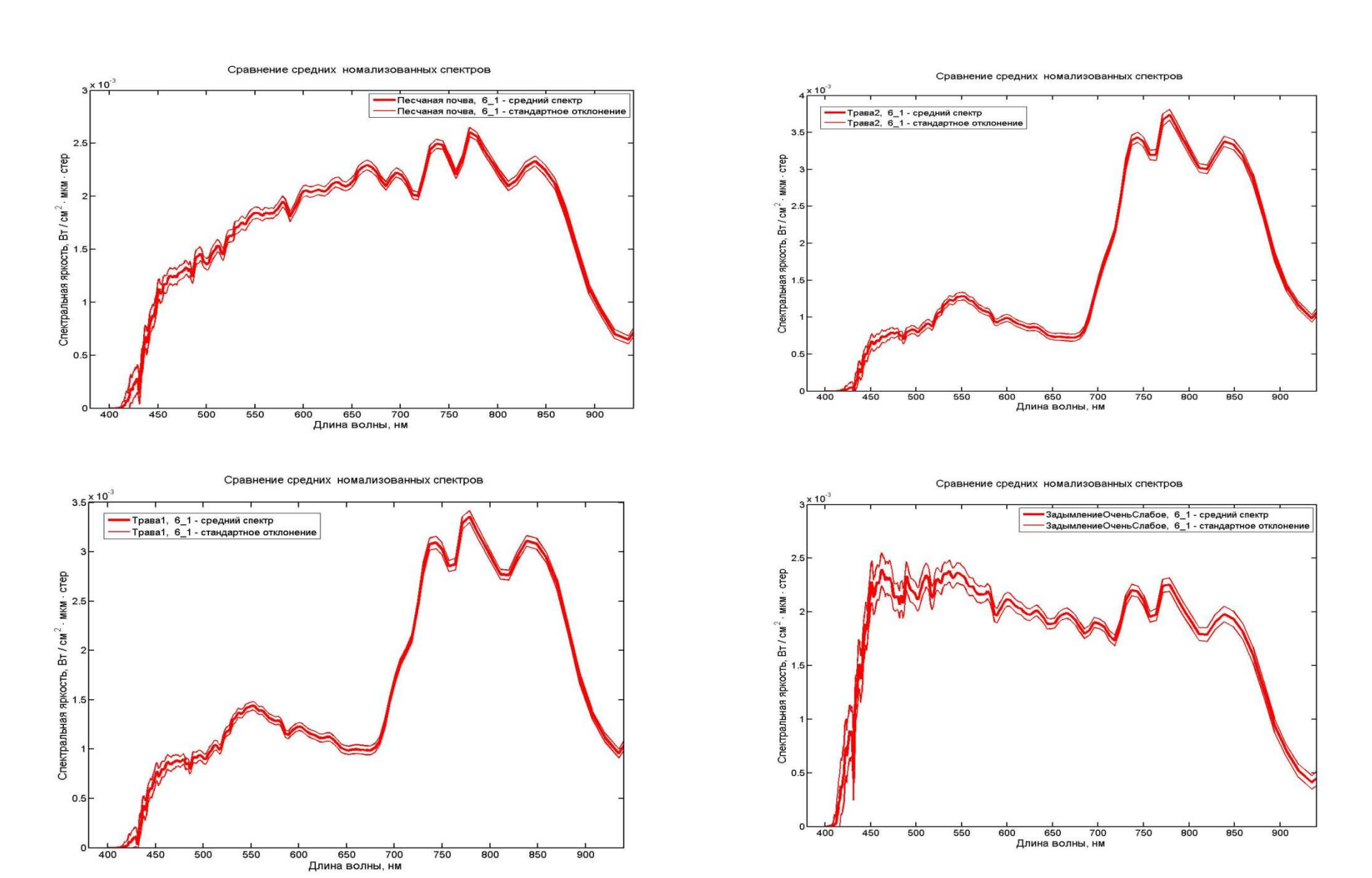
По мере увеличения задымления (справа внизу) в сравнении со слабым задымлением (слева внизу) уменьшается амплитуда длинноволновой области спектра; для дыма вблизи фронта горения (слева вверху) заметен максимум амплитуды спектра в коротковолновой области спектра



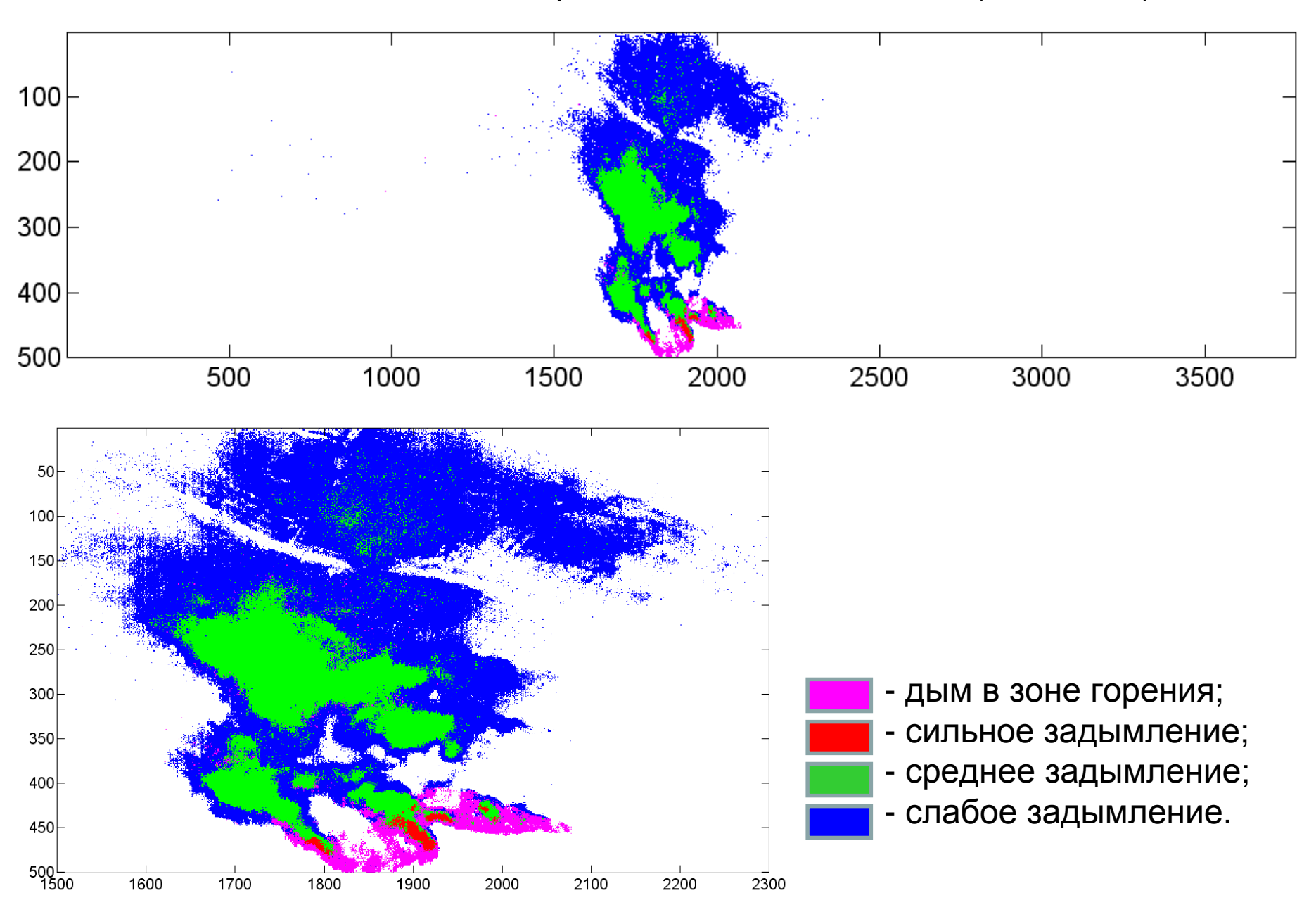
Отличительная черта лесной растительности — проявление полосы поглощения хлорофилла (вблизи 670 нм). Для разных типов лесной растительности, находящей за пределами дымовой завесы, наблюдается переход от зеленой лесной растительности (вверху слева) к более разреженной растительности (внизу слева). Вырубка (внизу справа) имеет явное отличие от трех других примеров лесной растительности.



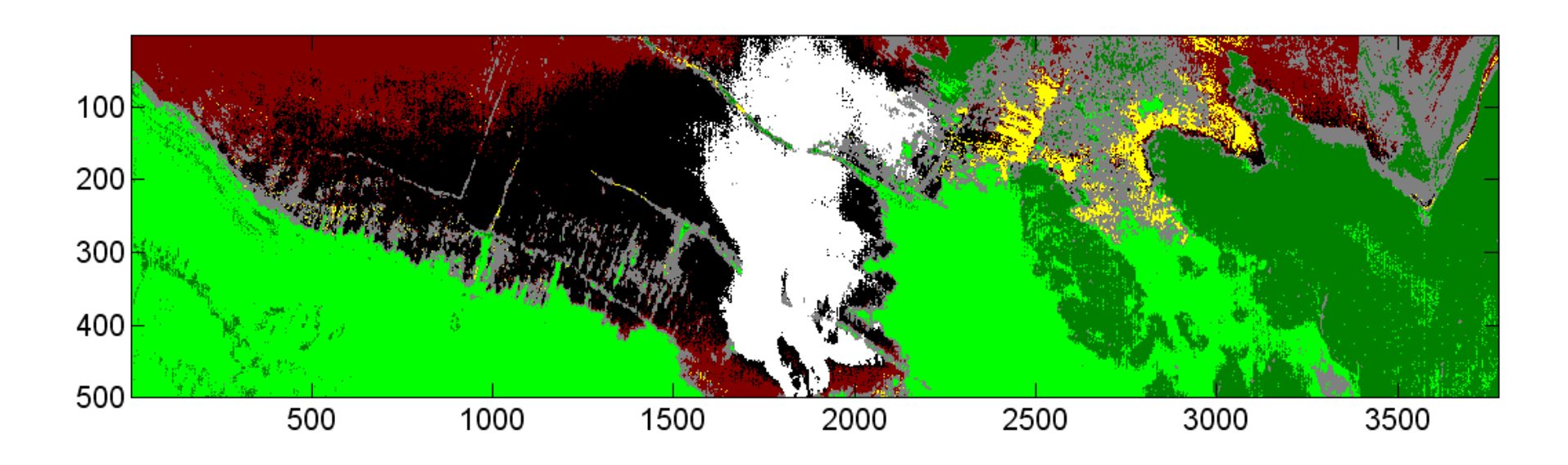
Спектр песчаной почвы (вверху слева) существенно отличается от спектра травянистой растительности (внизу слева и вверху справа). Для сравнения внизу справа снова приведен спектр одного из сильно задымленных участков, используемых для обучения



Распознавание дымов различной интенсивности (сцена 6_1)



Распознавание объектов (сцена 6_1)



- ____ дым;
- гарь;
- пожелтевшая растительность;
- почва;
- торфоразработки;
- трава;
- лесная растительность.

Заключение

- Аэрокосмическая гиперспектрометрия новейшее достижение научно-технологических приложений в области использования оптических измерительных средств с разрешением в единицы нанометра для получения информационной продукции обработки гиперспектральных изображений.
- Продемонстрированы особенности разработки классификаторов (вычислительных процедур распознавания объектов) при обработке данных гиперспектрального зондирования.
- Открываются перспективы создания новых программно-алгоритмических средств для распараллеливания вычислительных процессов по распознаванию образов природно-техногенных объектов при решении рассматриваемых прикладных задач.